

621.771.016.3: 669.14.019.35

(討10) 薄物冷延鋼板の形状におよぼす熱延原板性状の影響

川崎製鉄 千葉製鉄所

黒津亮二

鈴木桂一

中里嘉夫

君嶋英彦

技術研究所

中川吉左衛門

・鑓田征雄

1. 緒言

薄物冷延鋼板の形状品質に対する需要家の要求は最近非常に厳しくなってきている。形状のすぐれた冷延鋼板を製造するためには、製鋼から分塊、均熱、熱延、冷延、調質圧延に至るまでの工程管理が必要となる。冷延原板の形状におよぼす熱延以後の要因を列記したものを図1に示す。

本報告は、薄物冷延鋼板（板厚0.32～0.16mm）の形状におよぼす熱延原板性状に関して、(1)熱延原板の内質（特に板幅方向の変形抵抗分布）、(2)熱延原板のプロファイルについて現場操業実験をまとめてみたものである。

さらに、これら熱延原板の性状を均一にするための、熱延条件の検討を行なった。

2. 形状の測定

冷間圧延された鋼板は定盤上に置き、コイル全長にわたり一定間隔（1コイル10～15点）にサンプル採取して、図2に示すように、長さ1m当たりの総耳伸び高さ、総腹伸び高さを測定し、これを耳伸び量、腹伸び量とした。

なお以下に示す耳伸び量とは、両端の耳伸び量の平均である。

3. 热延原板性状の影響

3.1 热延原板内質の影響

実験用は普通リムド鋼を用い、熱延条件を変えることにより、板幅方向の変形抵抗に差を与えて、冷延後の圧延材の耳伸び量を測定した。

図3に板幅方向の変形抵抗の差と冷延後の圧延材の耳伸び量との関係を示している。ここで、変形抵抗の差は、圧下率 $r=56\%$ における中央部と板端部の差をとっている。すなわち、 $\Delta \sigma_r = 56\% = \sigma_{center} - \sigma_{edge}$ である。バラツキは大きいが、板幅方向の変形抵抗の差が大きくなるにつれて耳伸び量も増加している。

$\Delta \sigma_r = 56\% \div 5 \text{ kg/mm}^2$ では、ほぼ20～40mm/mと耳伸び量は非常に大きい。 $\Delta \sigma_r = 56\% \leq 1 \text{ kg/mm}^2$ では0.5～15mm/m程度になり、耳伸びはかなり改善される。

図4はこの場合の(A) $\Delta \sigma_r = 56\% \div 5 \text{ kg/mm}^2$ と(B) $\Delta \sigma_r = 56\% \leq 1 \text{ kg/mm}^2$

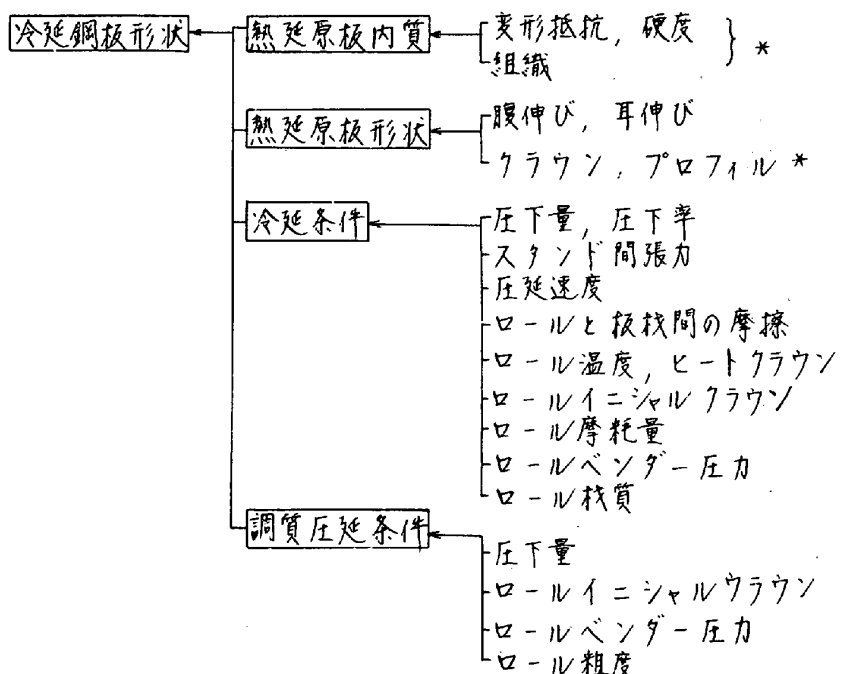


図1 冷延鋼板形状におよぼす要因

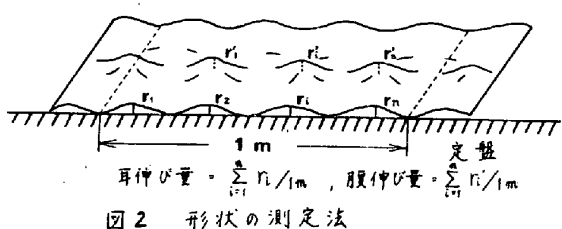


図2 形状の測定法

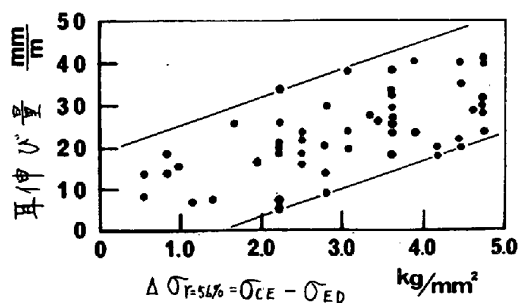


図3 変形抵抗の差と耳伸び量

における板幅方向の硬度分布(ロックウェルBスケールによる測定)を示したものである。

(A)はリム層のため板端80mmから急激に硬度がHRB=20低下し、最端部は熱延中の冷却により逆に増大している。

(B)は板端部での硬度減少も小さく、ほとんど一定になっている。したがって、中央部と板端部での変形抵抗の差に原因するのはリム層である。リム層を少なくし熱延原板の内質を均一にすれば、薄物冷延鋼板の形状は改善することができる。

本実験找では板幅方向の変形抵抗の差の影響が大きく、熱延原板のプロフィルと耳伸び量については明白な傾向は得られなかった。

3. 2 热延原板プロフィルの影響

内質の影響はほとんど無視して、プロフィルの影響だけを調べるためにリム層のないキルド鋼を用いて現場実験を行なった。

熱延時にプロフィルを変えて、酸洗前にプロフィルの測定を行なっている。形状測定は冷延後ただちにコイルの巻き直しを行なひながら行なった。

なお、冷延はすべて同一チャンスに標準圧延条件で行なっており、ロール状態もほとんど定常に達していると考えてよい。

写真1に実験找キルド鋼の板端部と中央部における板厚方向断面の顕微鏡組織をB Typeだけ示す。板厚方向には両者ともほとんど均一である。また、板端部の組織は中央部よりいくぶんか細粒になっている。A, C Typeもまったく同じ組織になっている。

図6は熱延原板の硬度分布(ロックウェルBスケールによる測定)を示したものである。A, B, C Typeとも板端部50mmから硬度上昇しているが、HRB=5程度のものであり、冷延板形状における内質の影響は無視できる。図7は熱延原板のプロフィルと冷延板形状との関係を示したものである。

耳伸び量、腹伸び量ともに 10mm/m 以下に収まっている。この程度の形状不良は調質圧延により矯正ができるので、冷延段階では比較的形状は良いといえる。

A Typeでは腹伸び量が 5.5mm/m 前後と大きく、耳伸び量は $0\sim 3\text{mm/m}$ と小さい。この場合、形状とは別

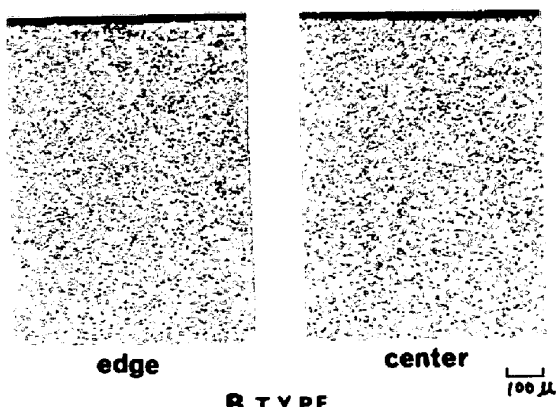


写真1. キルド鋼顕微鏡組織の一例

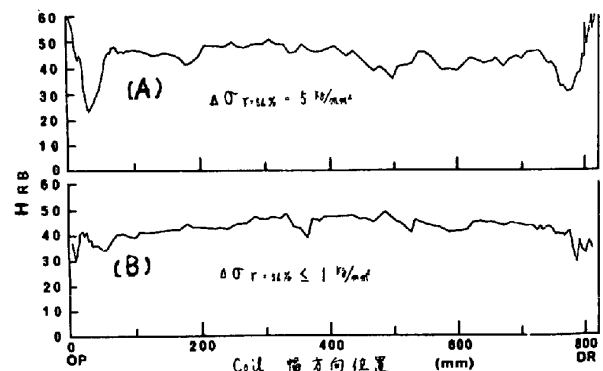


図4. リムド鋼熱延板の幅方向硬度分布(ロックウェルB)

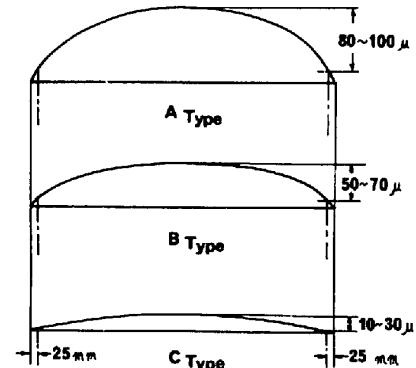


図5. 実験找キルド鋼熱延板のプロフィル

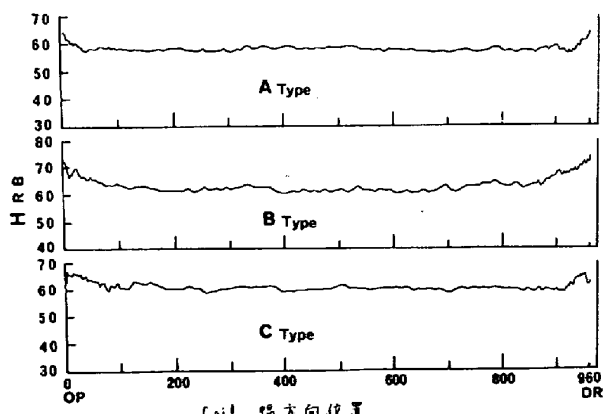


図6. キルド鋼熱延板の幅方向硬度分布(ロックウェルB)

に、クラウン量が大きすぎるためオフゲージが発生しやすく、製品としては問題がある。

B Type では腹伸び量が $0 \sim 7.3 \text{ mm/m}$ 、耳伸び量が $0 \sim 3 \text{ mm/m}$ と A Type と同じ程度であるが、オフゲージは発生しなかった。

C Type では腹伸び量が $1.5 \sim 4.5 \text{ mm/m}$ と小さく、耳伸び量が $3 \sim 6 \text{ mm/m}$ ともっとも大きい。

したがって、腹伸び量はクラウンの小さい C Type が最も小さく、A, B, C ともその変化は小さく、

局部的なビルドアップを除外すると、プロファイルの影響は小さい。もしも冷延時ににおけるコイルの後半で大きくなっていることから、冷延時のロールヒートクラウンのわずかな変化が影響すると言える。逆に、耳伸び量はクラウンが大きい A, B Type が小さい。これより、熱延板のプロファイルとしては $50 \sim 70 \mu$ の凸型のクラウンを与えてやれば冷延後の形状は良くなる。凹型のクラウン、板端部でビルドアップのある熱延板は耳伸びが顕著に現われるのは明白であり、調査の対象とはしなかった。

4. 热延における形状対策

热延原板の内質およびプロファイルの影響について述べてきた。

ここでは、ロールヒートクラウンやロール摩耗およびロールベンダー効果について热延における薄物冷延鋼板の形状対策を述べる。

4. 1 ロールヒートクラウンについて

図8 ロールヒートクラウンの経時変化を軸対称モデル計算により、予想したものである。ロール中央部の膨脹量は1サイクル圧延約2時間後に、半径340mmに対してもほぼ 300μ に達している。また、ロール中央部と圧延端部の膨脹量の差は圧延開始後約20分以後では、半径に対して常に $30 \sim 35 \mu$ の量で一定している。すなわち、圧延部ではヒートクラウンの量が安定してくることが推定される。

4. 2 ロール摩耗について

図9は圧延板中央における(ロール摩耗量-ヒートクラウン量)を経時に追跡したものである。上述のとおり圧延部のロールヒートクラウン量はある時間後に一定になることがわかる。ロールの摩耗が顕著に現われるのはサイクルにおける後半である。ロール摩耗は局部的なビルドアップの直接の原因になるので、ニッケルグレンロールから高硬度アダマイトロールへの採用切替えを行なっている。

4. 3 ロールベンダーの効果について

図10はshohetの分割モデルによりロール表面の変形を計算し、幅方向の板厚偏差を求めたものである。板幅が720mmのものには約 50μ , 960mmのものには約 80μ のクラウンの修正が可能である。図11は熱延仕上 #3 スタンドのロールベンダー力を変えたとき、#7出側における熱延板クラウン量を測定したものである。#3スタンドだけの制御では熱延板クラウンには 8μ 程度の効果しかあげられない。

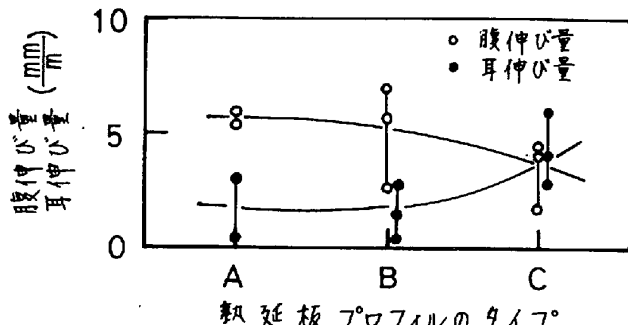


図7 热延板プロファイルと冷延板形状

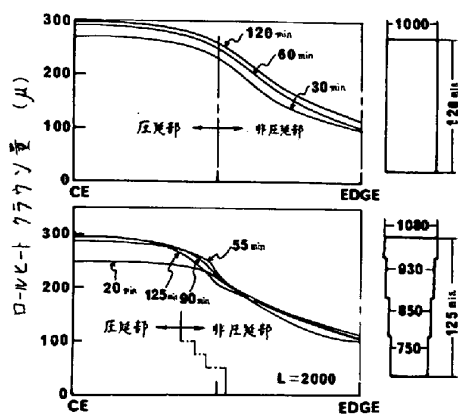


図8 热間压延におけるロールヒートクラウン
(轴対称モデルによる計算) 幅幅340mmに対して

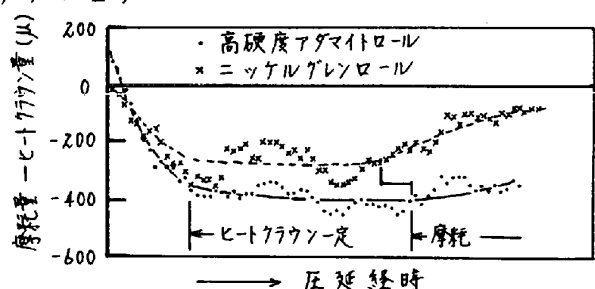


図9 摩耗量-ヒートクラウン量の経時変化

4.4 その他

ロールクーラントの冷却効果、
ロールイニシャルクラウン、圧延
サイクルの作業検討を行なってお
り、熱延段階で均質かつ50~60μ
の凸型クラウンを得るようにつ
とめている。

5. 薄物冷延鋼板形状の現状

図12に重鉛メッキ原板の形状不
良コイルの発生率の推移を示す。

形状対策開始以前は不良発生率が
10~15%であったが、対策開始
以後は漸次減少の傾向を示しており、現在では3
%以下に達し、形状はかなり改善されている。

6. 結言

薄物冷延鋼板の形状におよぼす熱延原板の内質お
よびプロファイルの影響について述べてきた。以上よ
り次のことが言える。

- (1) 热延原板の内質については、板幅方向に均質
なものが良く、変形抵抗の差を1kg/mm²以内に
すると冷延後の耳伸び量はほぼ15mm/m以内
に収まる。
- (2) 热延原板のプロファイルについては、50~70μの凸型のクラウンが望ましく、凹型クラウンや局
部的ビルドアップは形状を悪くする。そのためには、ロールのヒートクラウン量と摩耗量を把握
したうえでの形状制御が必要である。

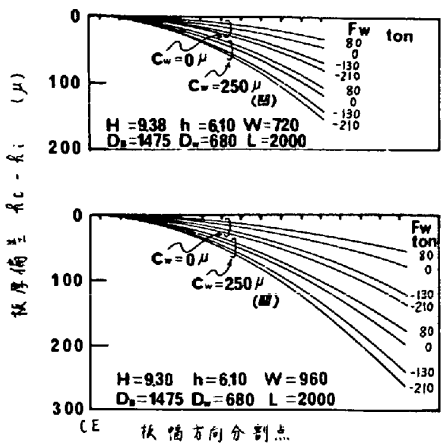


図10 F3ロールベンディング効果計算結果
(Shahetの分割モデルによる板厚偏差)

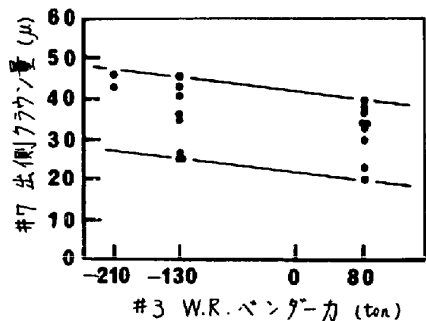


図11 F3 ベンダー効果実験結果

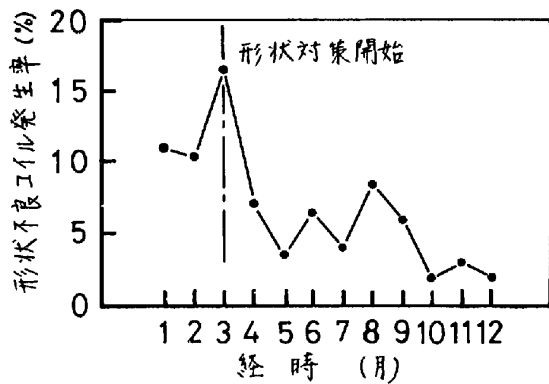


図12 重鉛メッキ原板の形状不良コイル
発生率の推移